## 巧茶中木栓烷型三萜的分离和结构鉴定<sup>\*</sup>

张 <sup>1</sup> 陈耀祖<sup>1</sup> 刘家良<sup>2</sup> 黄慧民<sup>2</sup> 海 景<sup>2</sup> (1兰州太学应用有机化学国家重点实验室,兰州, 730000; 2 广东工业太学化工系)

# ISOLATION AND STRUCTRUAL IDENTIFICATION OF THE TRITERPENES OF Catha exulis

Zhang Kun<sup>1</sup> Chen Yaozu<sup>1</sup> Liu Jialiang Huang Huimin Hai Jing
(1 The State Key Lab. of Applied Organic Chemistry, Lanzhou Univ., Langzhou, 730000;
2 Chemical Engineering Dept. of, Guangdong Univ. of Technology)

关键词 卫矛科; 巧茶; 三萜; 木栓烷; 结构鉴定; 超临界萃取

Key words Clastraceae; Catha exulis Forsk; triterpene; friedelane; structure deduction; supercritical fluid 中图分类号 S 571. 101

巧茶(Catha edulis Forsk)是卫矛科(Clastraceae)植物,原产也门,生长于热带和亚热带地区,分布于东南亚地区,我国云南和海南地区均有栽培. 巧茶具有清热解毒,止渴和兴奋等多种药理功能(云南省药材公司,1993). 多种具有抗肿瘤活性的三萜成分已从该属植物中分离得到(Antonio et al,1975). 我们对海南产巧茶地上部分的化学成分进行了初步研究,从中分离得到4个木栓烷型三萜化合物. 木栓烷型三萜是卫矛科植物化学成分的一个重要组成部分,其对风湿、白血病和皮肤病都有疗效(Nozaki et al,1982),是一类较有研究和开发价值的活性成分.

#### 1 材料与方法

### 2 结果与分析

化合物 1  $C_{30}H_{50}O$ ,无色针状晶体,m p  $260\sim262^{\circ}C$ , $IR\sqrt{\nu}$  cm $^{-1}(KBr)$  2 931、2 868、1 710、1 454、1 384、1 220、1 108、MS(EI):426 M]  $^{+}$ 、411、341、302、273、205、125、109。在化合物的 IR 光谱中,1 707 cm $^{-1}$ 吸收峰和 $^{13}C$  NM R 谱中的 213、1 的信号显示有羰基的存在。在 $^{1}H$  NMR, $^{13}C$  NMR 和 DEPT 谱中,存在有  $^{\circ}$ 0、87d(J=6、74) 和 0、72、0、88、0、96、1、00、1、03、1、05、1、12(各 3H,s),以及 6.8、14.6、17、2、18.6、20、2、28.8、31、8 和 35、1 (8× CH $_{3}$ ) 的吸收峰显示了化合物 1 分子中存在有 8 个甲基,其中 7 个甲基与季碳相连,1 个甲基与 CH 相连。此外,化合物 1 的 $^{13}C$  NMR 和 DEPT 谱显示了分子中还有 6 个季碳(42、1、37、5、38、3、39、7、30、6、28、2),4 个 CH(41、6、53、1、58、2、59、5)和 11 个 CH $_{2}$  的存在( $^{\circ}$ 17、9、22、3、28 0、30.0、30、5、32、1、35、6、36、0、39、2、41、3、41、5),由此可以推断化合物 1 是具有木栓烷骨架的三萜化合物。

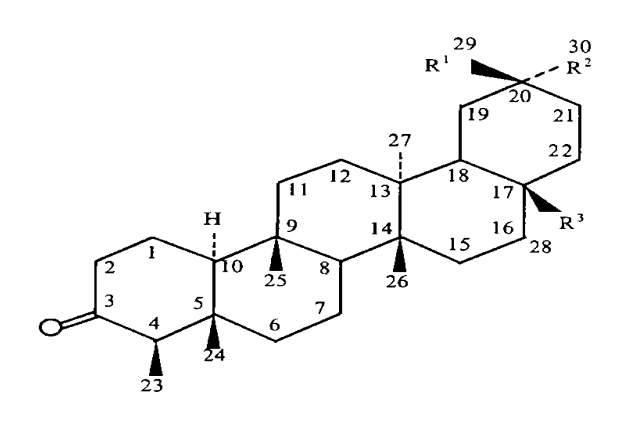
<sup>1998-02-03</sup> 收稿 张 , 男, 35 岁, 副教授, 博士, 现在广东 工业大学 化工系

通过光谱数据的比较 (Nozak et al. 1986), 可知化合物 1 中的羰基应在 3 位, 其他的光谱数据和木栓酮的光谱数据基本相同(刘锡葵等, 1993). 因此, 化合物 1 鉴定为木栓酮, 其结构式见图 1.

化合物 2  $C_{30}H_{50}O_2$ ,无色针状晶体,m p  $271\sim273^{\circ}C$ .  $IR\sqrt{m}^{-1}(KBr)$  3 528.2 93 1.2 868. 1 707.1 45 4.1 384. 1 215. 1 053. MS(EI): 442[M]  $^+$ 、411. 357. 302. 287. 273. 231. 177. 135. 123. 109. 95. 81. 55. 化合物 2 的波谱数据和化合物 1 基本相同. 只是其 IR 谱中有 3 528 cm  $^{-1}$ 的吸收峰. 说明分子中有羟基的存在. 将其波谱数据和 30 — 羟基木栓酮比较. 其数据基本相同(Nozak et al. 1986). 因此鉴定化合物 2 为 30 — 木栓酮. 其结构式见图 1.

化合物 3  $C_{30}H_{50}O_2$ ,无色针状晶体, m. p.  $268 \sim 269$  °C. IR  $\bar{\nu}/cm^{-1}$  (KBr) 3 535、2 938、2 868、1 714、1 454、1 384、1 243、1 194、1 053. MS(EI); 442[ M]  $^+$ 、411、357、302、273、255、187、137、95、55. 将化合物 3 的波谱数据和 29一羟基木栓酮比较(Nozak et al, 1986),其数据基本相同。因此鉴定化合物 3 为 29一羟基木栓酮。其结构式见图 1.

化合物 4  $C_{30}$   $H_{50}$   $O_{2}$  无色针状晶体 m. p  $282 \sim 283^{\circ}$  C. IR  $\sqrt{\text{cm}^{-1}}$  (KBr) 3 543、2 931、2 868、1 707、1 461、1 384、1 124、1 082. MS(EI): 442[M]  $^{+}$ 、411、273、257、203、191、137、121、109、95、84、69、55. 化合物 4 的波谱数据和化合物 2 基本相同. 只是在  $^{1}$ H NMR谱中 3 34 和 3 42 信号消失;在 3.63 位置出现了一个单峰. 而与羟基相连 的 C 信号也移向高场,出现在 68 03 位置. 这是与 C— 17 相连的甲基被氧化的特征 (Nozak et al. 1986). 将化合物 4 的波谱数据基本相同(Nozak et al. 1986). 因此鉴定化合物 4 为 28 羟基一木栓酮. 其结构式见图 1.



据与 28— 羟基木栓酮相比较,其波谱数据 化合物 1 R<sup>1</sup>= R<sup>2</sup>= R<sup>3</sup>= Me, 化合物 2 R<sup>2</sup>= CH<sub>2</sub>OH, R<sup>1</sup>= R<sup>3</sup>= Me, 基本相同(Nozak et al. 1986). 因此鉴定化 合物 3 R<sup>1</sup>= CH<sub>2</sub>OH, R<sup>2</sup>= R<sup>3</sup>= Me, 化合物 4 R<sup>3</sup>= CH<sub>2</sub>OH, R \( \subseteq \text{R} \) = Me ( 合物 4 为 28 羟基一木栓酮,其结构式 见图 图 1 化合物 1 至化合物 4 的结构式

#### 参考文献

云南省药材公司. 1993. 云南中药资源名录. 北京:科学出版社,296

刘锡葵, 吴大刚. 1993. 独籽藤中木栓烷三萜化学成分. 中草药, 24(8): 395~397

Antonio G G, Cosme G F, Raimundo Freire, et al. 1975. Iguesterin, a new quinonoid triterpene from catha cassinoides Phtochemistry, 14: 1067~1070

Nozak H, Suzuki H, Hirayama T, et al 1986 Antitumour Triterpenes of maytenus diversifolia Phytochemistry, 25: 479~485

Nozaki H, Suzuki H, Lee K H, et al 1982 Structure and stereochemistry of maytenfolic acid and maytenfolio, two new antileukemic triterpenes from maytenus diversifolia. J chem Soc Commun, 1048~1051